Vol.19 No.6 December, 2006

化学镀制备玄武岩纤维/镍核壳结构及其表征*

康玉清,袁轩一,曹茂盛

(北京理工大学 材料科学与工程学院, 北京 100081)

摘 要:采用简单易行的化学镀方法,在较低的温度下制备出一种新型的玄武岩纤维/镍核壳结构。SEM、 XRD、XPS 分析结果表明,金属 Ni 颗粒吸附在玄武岩纤维表面,形成了一层均匀连续的镍壳层。通过对试验结果进行分析,得出了制备玄武岩纤维/镍核壳结构的最佳温度和 pH 值分别为 50 和 10.0。文中对化学镀核壳结构的形成机理也进行了初步分析。

关键词: 玄武岩纤维; 核壳结构; 化学镀

中图分类号:TQ153.2 文献标识码:A 文章编号:1007-9289(2006)06-0035-04

Preparation and Characterization of Basalt Fibers /nickel core-shell Structures Synthesized by Electroless Plating

KANG Yu-Qing, YUAN Xuan-Yi, CAO Mao-Sheng

(School of Material Science and Engineering, Beijing Institute of Technology, Beijing 100081 China)

Abstract: Basalt fibers/nickel core-shell structures were synthesized by an electroless plating method at low temperature. The core-shell structures were characterized by means of SEM and their components were analyzed by EDS, XRD and XPS. The results showed that the surface of basalt fibers was coated by a continuous and uniform nickel shells. Especially, the optimal temperature and pH value of electroless plating, namely, 50°C and 10.0, have been ascertained. The possible mechanism of the formation of basalt fibers/nickel core-shell structures was discussed.

Key word: basalt fibers; core-shell structures; electroless plating

0 引 言

目前,核壳结构的制备技术已经被成功地应用于多种材料。已有核壳结构的制备方法主要有:自组装法,声化学法,气相沉积聚合法等^[1-5]。由于核壳结构表现出的独特的物理化学性质,有关它的理论和实验的研究也将受到更广泛的关注^[6,7]。

玄武岩纤维是一种新型优质增强材料,目前已经被用于制备陶瓷基^[8-10]及树脂基^[11-13]复合材料。它具有弹性模量高、抗拉强度高、热稳定性及化学稳定性好、绝缘性能和介电性能好等多种优点^[14],在航空航天、石油化工、建筑、汽车等领域都有广泛的应用前景。有研究表明,玄武岩纤维还具有一定的吸波性能,若能对其进行进一步表面改性,可

收稿日期:2006-09-04; 修回日期:2006-09-28

基金项目:*国防科工委十一五基础科研计划(编号略)和武器装备预研基金(编号略)资助课题。

作者简介:康玉清(1984-),女(汉),山西应县人,硕士生.

能会有更好的吸波性能^[15],但是目前似乎尚未发现相关方面的研究。文中采用化学镀的方法,在玄武岩纤维表面沉积了一层完全包覆的镍颗粒层,获得了玄武岩纤维/镍核壳结构,确定了制备该核壳结构的最佳工艺参数,并对该结构的形成机理进行了初步探讨。

1 试验过程

1.1 玄武岩纤维/镍核壳结构的制备

玄武岩纤维可以分为连续纤维、短切纤维、粗纱织物等几大类。试验所用原料为国产的短切玄武岩纤维,其直径为 9 μm,长度为 1 cm,纤维的SEM图像及成分如图 1 所示。从图中可以看出,玄武岩纤维的主要成分为Si和O,此外,还含有Al、Mg等元素。用化学镀方法制备玄武岩纤维/镍核壳结构的过程包括前处理工艺和化学镀镍。前处理工艺由亲水处理、敏化、活化 3 个步骤构成。制备过程如下:将玄武岩纤维放入含有 10 %HF与 10 %HCl的混合

溶液中浸泡 5 min,以对纤维表面进行亲水处理;将亲水处理后的纤维用蒸馏水清洗后放入SnCl₂敏化液中敏化 5 min;之后用蒸馏水多次清洗,放入PdCl₂活化液中活化 5 min。将活化后的玄武岩纤维清洗、干燥后即可进行化学镀镍。镀液的主要成分如表 1 所示。为了研究工艺参数对包覆效果的影响,分别制备了不同温度和pH值下的两组样品。

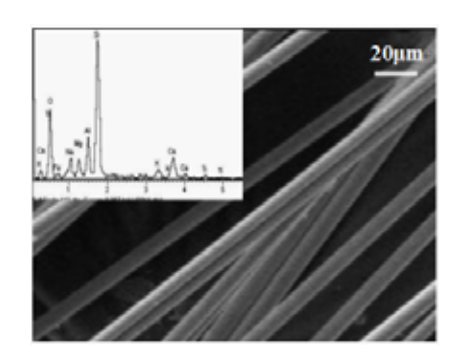


图 1 玄武岩纤维的 SEM 图像 (插图是相应的 EDS 谱) Fig.1 The SEM image of naked basalt fibers (The inset is the corresponding EDS spectrum)

表 1 化学镀液的成分

Table 1 Chemical composition of soution

成分	浓度/(mol/L)
$NiCl_2 \cdot 6H_2O$	0.25
NiSO ₄ · 6H ₂ O	0.09
$NaH_2PO_2 \cdot 2H_2O$	0.084
NH ₄ Cl	1.84
$Na_3C_6H_5O_7 \cdot 2H_2O$	0.09

1.2 核壳结构的表征方法

原玄武岩纤维及镀后得到的玄武岩纤维/镍核 壳 结构的形貌用扫描电子显微镜 (SEM, JSM-5600LV)观测;其成分用能量散射分析仪 (EDS, Gatan GIF 678)及 X 射线衍射分析仪 (XRD, Japan, Rigaku, D/max-RB, Cu-Ka)测定,表面元素的成分及价态用 X 射线光电子能谱(XPS, PHI 5300, Mg-Kα)测定。

2 结果与讨论

2.1 玄武岩纤维/镍核壳结构的表征

图 2 是原玄武岩纤维及核壳结构的 XRD 图谱。从图中可以看到,原玄武岩纤维的 XRD 图谱

中不存在镍的衍射峰,而在玄武岩纤维/镍核壳结构的 XRD 图谱中,出现了镍的衍射峰 Ni(111)、

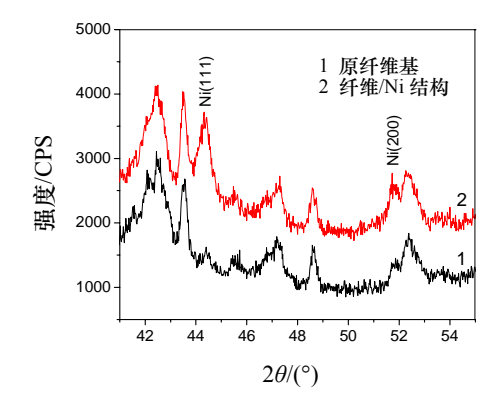


图2 原玄武岩纤维(1)及玄武岩纤维/镍核壳结构(2)的 XRD 图谱

Fig.2 XRD of the naked basalt fibers (1) and the basalt fibers/Ni core-shell structures (2)

Ni(200)。这说明核壳结构中有Ni存在。图 3 是玄武岩纤维/镍核壳结构的SEM图像。从图中可以看出,玄武岩纤维被一层均匀连续的镍层完全包覆,部分纤维表面有颗粒状突起,这可能是由于镍是具有催化活性的金属^[16],在反应过程中,包覆在纤维表面的金属镍吸附了溶液中的镍颗粒而形成的。插图是图 3 中所选区域的EDS图谱。从中可以看出,选区中含有大量的Ni,此外还含有Si、O等元素。

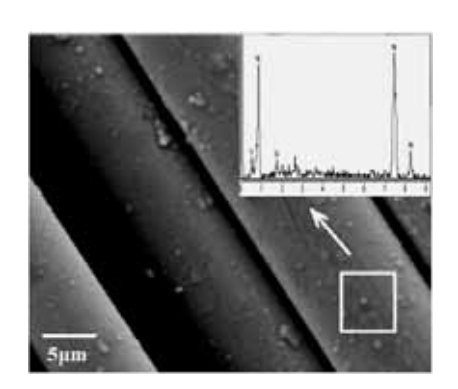


图 3 玄武岩纤维/镍核壳结构的 SEM 图像, 插图是选区的 EDS 谱

Fig.3 The SEM image of the basalt fibers/Ni core-shell structures. The inset is the EDS spectrum of the selected area

这也可以说明纤维表面的包覆层是镍。图 4 是原玄 武岩纤维及核壳结构的 XPS 全扫描图,插图是镍的 窄扫描图。图中氧元素的峰来自于玄武岩纤维中的 二氧化硅及其它氧化物;碳元素的峰来自于测试环境中的污染碳。从图中可以看出,在核壳结构的 XPS 中可以看到镍元素的峰,而在原玄武岩纤维的 XPS 中则没有镍峰存在。这说明核壳结构的表面层含有镍元素。这一结果与以上的分析结果相符,证实了玄武岩纤维/镍核壳结构的形成。

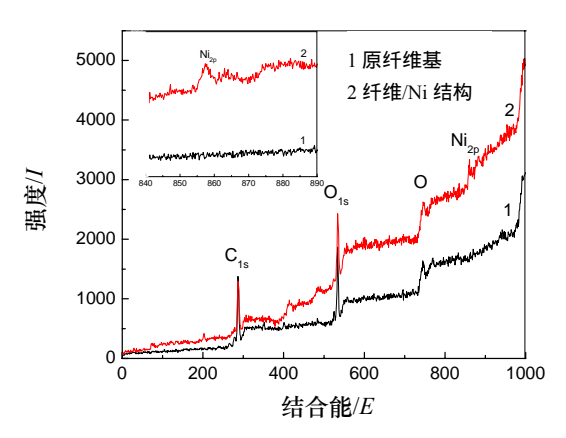


图 4 原玄武岩纤维(1)及玄武岩纤维/镍核壳结构(2)的 XPS 图像

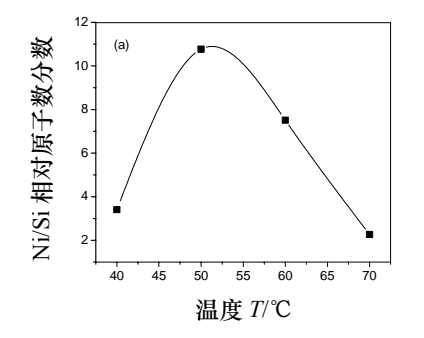
Fig.4 XPS of basalt fibers (1) and the basalt fibers/Ni core-shell (2)

2.2 核壳结构的形成机理

玄武岩纤维的主要成分是SiO₂,与水溶液的界面润湿性较差。将其加入HF亲水溶液中,通常会发生如下反应:

$$SiO_2 + 4HF \rightarrow SiF_4 + 2H_2O \tag{1}$$

生成的SiF₄提高了玄武岩纤维与水溶液的界面 润湿性,使纤维表面均匀分布一层水溶液,使得敏 化处理中Sn²⁺能够均匀吸附在玄武岩纤维表面^[17]。 这是活化处理中在纤维表面形成均匀的Pd-Sn催化 核的关键。活化处理是在PdCl₂的水溶液中进行的,



Pd²⁺与Sn²⁺反应在玄武岩纤维表面形成均匀的 Pd-Sn催化核,反应式如(2)所示:

$$Pd^{2+} + Sn^{2+} \rightarrow Pd + Sn^{4+}$$
 (2)

反应为化学镀镍过程中镍颗粒沉积到玄武岩纤维 表面,形成均匀的镍壳提供了条件。

众所周知,化学镀镍反应是一个自催化还原反应,其方程式为:

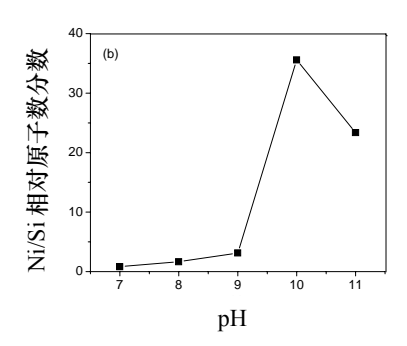
Ni²⁺ + H₂PO₂ + H₂O → H₂PO₃ + 2H⁺ + Ni ↓ (3) 将经过前处理的玄武岩纤维加入镀液中,镀液中的镍离子在溶液与纤维的界面处被还原成金属镍颗粒,这些纳米镍颗粒拥有较高的表面能易于团聚,但是由于溶液中镍离子的浓度远远高于H₂PO₂ 的浓度,被还原出来的镍颗粒会选择性吸附溶液中多余的镍离子,而使镍颗粒带正电,使镍颗粒间不能团聚形成较大的颗粒。当这些镍颗粒与玄武岩纤维相遇时,镍颗粒上的一部分镍离子就会与玄武岩纤维 表面的Pd—Sn催化核反应,反应方程式如(4)所示 [18]。

$$Pd + Ni^{2+} \rightarrow Ni + Pd^{2+}$$
 (4)

这样,金属镍颗粒沉积在玄武岩纤维表面,最终形成了玄武岩纤维/镍核壳结构。

2.3 最佳工艺参数的确定

为了确定制备核壳结构的最佳工艺参数,分别制备了不同温度和pH值时的两组样品。用能量散射谱 (EDS, Gatan GIF 678) 来分析样品中镍的含量。由于玄武岩纤维的主要成分是SiO₂,一个SiO₂中只含有一个Si,因此,样品中Ni与Si的原子比可以近似地表征核壳结构中Ni的相对含量。对EDS测试数据进行分析,就可以得出温度和pH值对核壳结构中Ni的相对含量的影响,如图 5 所示。



(a) 温度对镍的相对含量的影响(pH=10) (b) pH 值对镍的相对含量的影响(T=50) 图 5 温度和 pH 值对核壳结构中镍的相对含量的影响

Fig. 5 The effect of temperature and pH value on the ratio of Ni to Si: (a) the effect of temperature on the ratio of Ni to Si. (pH = 10.0); (b) the effect of pH value. (T = 50)

图 5 (a) 是 Ni 的相对含量随温度变化的曲线。 从图中可以看出, Ni 的相对含量随温度的升高逐渐增大,在 50℃左右时达到最大值,此后又逐渐减小。 这是因为化学沉积过程是吸热过程。温度太低,被 络合后的金属离子由于没有足够的能量而无法解 离出来;温度太高,又会导致镀液的自发沉积和分解,使其稳定性变差,影响施镀效果。

图 5 (b) 是Ni的相对含量随pH值变化的曲线。从图中可以看出,随着pH值的升高,Ni的相对含量逐渐升高,在pH=10 时达到最大值,此后又逐渐下降。在化学沉积过程中,溶液中的H⁺愈多,愈不利于Ni的沉积。因此,随着pH值的增加,沉积的镍原子增加;但pH值太高又会加速镀液的分解,不利于反应的继续进行。

以上试验结果可以得出,制备核壳结构的最佳 反应温度为 50 ,pH 值为 10.0。

3 结 论

采用简单易行的化学镀方法,在玄武岩纤维表面包覆了一层均匀连续的镍颗粒层。SEM、EDS、XRD及 XPS 分析证明了这种新型的玄武岩纤维/镍核壳结构的形成。在前处理过程中,Pd-Sn 粒子沉积在玄武岩纤维表面,为化学镀镍过程中镍颗粒沉积到玄武岩纤维表面,形成均匀的镍壳提供了条件。试验结果表明,制备玄武岩纤维/镍核壳结构的最佳温度和 pH 值分别是 50 和 10.0。

参考文献:

- [1] Chen Y J, Cao M S, Tian Q, et al. A novel preparation and surface decorated approach for a-Fe nanoparticles by chemical vapor–liquid reaction at low temperature [J]. Mater. Lett. 2004,58:1481-1484.
- [2] Chen X H, Xia J T, Peng J C, et al. Carbon-nanotube metal-matrix composites prepared by electroless plating [J]. Compos. Sci. Technol. 2000,60:301-306.
- [3] Ang L M, Hor T S A, Xu G Q, et al. Decoration of activated carbon nanotubes with copper and nickel [J]. Carbon. 2000,38:363-372.
- [4] 俞建长. 核壳结构的氧化锆包裹氧化铝纳米复合粉体的制备研究 [J]. 无机材料学报,2005,20(5):1054-1058.
- [5] Jiang Z J, Liu C Y. Seed-Mediated Growth Technique for the Preparation of a Silver Nanoshell on a Silica

- Sphere [J]. J. Phys. Chem. B, 2003,107(12):411-415.
- [6] Ferguson J D, Buechler K J, Weimer A W, et al. SnO₂ atomic layer deposition on ZrO₂ and Al nanoparticles: Pathway to enhanced thermite materials [J]. Powd. Technol. 2005,156:154-163.
- [7] Liu S Q, Tao W H, Li J, et al. Study on the formation process of Al₂O₃-TiO₂ composite powders [J]. Powd. Technol.2005,155:187-192.
- [8] Aldo R. Boccaccini, Shabbar Atiq, Gundula Helsch. Optomechanical glass matrix composites [J]. Compos. Sci. Technol. 2003,63:779-783.
- [9] Jongsung Sim, Cheolwoo Park, Do Young Moon. Characteristics of basalt fiber as a strengthening material for concrete structures [J]. Compos. Part B. 2005,36: 504-512.
- [10] Marita L. Berndt, Aristodimos J. Philippacopoulos. Incorporation of fibres in geothermal well cements [J]. Geothermics. 2002,31:643-656.
- [11] 黄根来, 孙志杰, 王明超, 等. 玄武岩纤维及其复合 材料基本力学性能实验研究 [J]. 玻璃钢/复合材料, 2006,1:24-27.
- [12] Szabo' J S, Cziga'ny T. Static fracture and failure behavior of aligned discontinuous mineral fiber reinforced polypropylene composites [J]. Polymer Testing, 2003, 22: 711-719.
- [13] Dylmar Penteado Dias, Clelio Thaumaturgo. Fracture toughness of geopolymeric concretes reinforced with basalt fibers [J]. Cement. Concrete. Comp. 2005,27: 49-54.
- [14] Goldsworthy W B. New basalt fiber increases composite potential [J]. Compos. Technol. 2000, 8(8): 15-16.
- [15] 胡显奇, 申屠年. 连续玄武岩纤维在军工及民用领域的应用 [J]. 高科技纤维与应用, 2005, 30(6):7-13.
- [16] 曹茂盛,杨会静,刘爱东,等 Ni-P-Si纳米粒子化学复合 镀工艺及力学性能研究 [J]. 中国表面工程,2000,3:43-45.
- [17] Chen Y J, Cao M S, Xu Q, et al. Electroless nickel plating on silicon carbide nanoparticles [J]. Surf. Coat. Technol. 2003,172:90-94.
- [18] Gui-Zhen Zou, Mao-Sheng Cao, Liang Zhang, et al. A nanoscale core-shell of β-SiCP Ni prepared by electroless plating at lower temperature [J]. Surf. Coat. Technol. 2006, 201:108-112.

作者地址:北京市 北京理工大学材料学院 100081 Tel: (010)68948675

E-mail: caomaosheng@bit.edu.cn(曹茂盛教授)